

熊本大学工学部 正会員 大津 政康

熊本大学工学部 正会員 重石 光弘

熊本大学大学院 学生会員 大塚 政暢

## 1. はじめに

今日コンクリート構造物はその優れた堅牢性と経済性によって広く普及し、社会において重要な役割を果たしている。またそれとともに、長年の供用により損傷を受けたあるいは受けたと思われるコンクリート構造物の健全性を、その機能を損なうことなく正確に評価する手法が必要になってきた。その一つとして期待されるアコースティック・エミッション (Acoustic Emission; AE) 法は、弾性体内に蓄積された歪みエネルギーが微小ひびわれを形成することによって解放される際に、その微小ひびわれを発生源とする弹性波 (AE波) の放射・伝播現象を利用したものである。このAE波の発生および伝播形態は発生源である弾性体の破壊現象と密接な関係があり、AE波を検出して理論解析することによって、破壊現象に関する情報が得られる可能性がある。一方、コンクリートのひびわれによる破壊過程では、既存ひびわれの先端周辺部に無数の微小ひびわれが発生して破壊進行領域を形成し、これらの微小ひびわれの拡大および連結によってひびわれが進展するものと考えられている<sup>1)</sup>。この破壊進行領域は、力学的には非線形となるため、コンクリートにおける破壊力学に線形理論を適用することを困難にしている一因となっている。そこで本研究では、コンクリートのひびわれが進展する過程において、ひびわれの先端周辺部より発生するAE波を検出し、その信号波形に対し逆解析を行うことによって、破壊進行領域を可視化する試みを行った。

## 2. モルタルおよびコンクリート角柱供試体の曲げ破壊実験

図2.1に示すように、モルタルおよびコンクリート角柱供試体 ( $150 \times 150 \times 550$  mm) の4点曲げ載荷によって、下縁中央に設けた長さ30 mmおよび60 mmのノッチの先端からひびわれを進展させた。この時、載荷板上部に置かれたロードセルとノッチ開口部に取り付けられたクリップゲージによって載荷荷重と開口変位を計測した。長さ30 mmのノッチを設けたモルタル供試体の実験における開口変位と載荷荷重との関係を図2.2に示す。また、ひびわれの進展に伴いノッチの先端周辺部より発生するAE波は、供試体表面に取り付けられた6個のAEセンサ (共振周波数150 kHz) によって検出し、その信号波形は、増幅(60 dB)した後にハイパスフィルタ(3 kHz)を通して波形記録装置に記録した。なお、今回用いたモルタルおよびコンクリートにおける弹性波の伝播速度の測定を行い、それぞれ4300 m/sec, 4000 m/secを得た。

## 3. AE波形解析による破壊進行領域の可視化

検出・記録されたAE波形の解析手法には、既に筆者らにより開発されたSiGMA<sup>2)</sup>を用いた。これを用いることにより、ある一つの微小ひびわれから発生したAE波の波形が6点以上の観測点で検出されれば、そのAE波の発生源すなわち弹性体内部に生じた微小ひびわれの位置、発生モード、その面の方向を定量的に逆解析できる。また後処

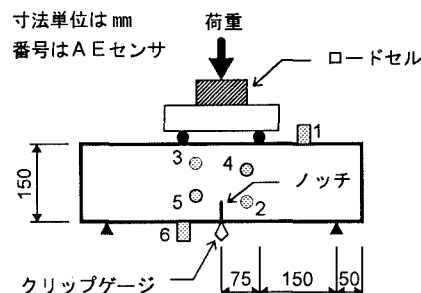


図2.1 角柱供試体曲げ破壊実験概念図

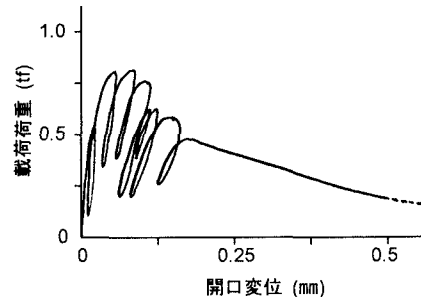


図2.2 モルタル供試体 (ノッチ長さ30 mm) の載荷荷重とノッチの開口変位の関係

理として、検出波形から逆解析された微小ひびわれの幾何学的諸量から弾性波動をシミュレーションし、この理論波形における SiGMA の逆解析結果と比較を行うことにより、解析結果の信頼性を判定した<sup>3)</sup>。

一つの微小ひびわれが発生すると、6個のAEセンサがその時のAE波形をそれぞれに検出する。これを1事象とすると、実験での全検出事象数、SiGMAによる解析結果が得られた事象数、および後処理解析により信頼性が確認された事象数は、それぞれ表3.1のようになった。

表3.1 各供試体におけるAE事象数

Material	Concrete		Mortar	
	Length of Notch 30mm	60mm	30mm	60mm
Recorded	121	262	846	441
Analyzable	39	66	135	142
Verified	11	24	44	42

長さ30mmのノッチを設けたモルタル供試体において検出された全846AE事象の内、信頼できる逆解析結果を実験の前半26事象と後半18事象に分けて図3.1および図3.2に示す。図中の→印は、この位置の微小ひびわれが引張が卓越したモードで生じ、その示された方向に開口した事を示している。また×印は、せん断モードが卓越あるいは引張およびせん断の混合モードで生じ、交差した2本の線分の方向が、微小ひびわれ面の方向あるいは運動方向のいずれかである事を示している。これらの結果は、ノッチ先端周辺部の破壊進行領域の分布およびひびわれ進展に伴う破壊進行領域の移動を示すものと考えられる。

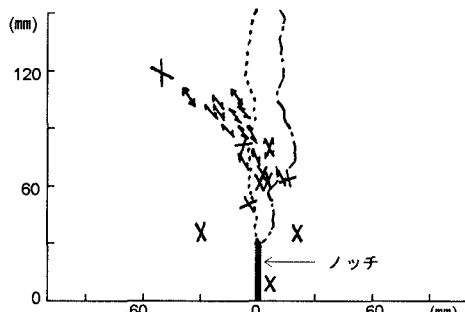


図3.1 モルタル供試体（ノッチ長さ30mm）の実験前半におけるAE波形の逆解析結果

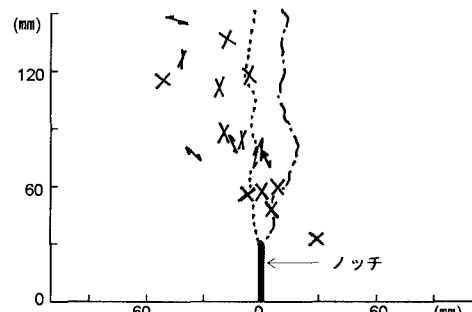


図3.2 モルタル供試体（ノッチ長さ30mm）の実験後半におけるAE波形の逆解析結果

また、コンクリート供試体における逆解析結果を同様に図3.3および図3.4に示した。これらの結果はノッチ長さの違いによる、破壊進行領域の規模への影響を示していると考えられる。

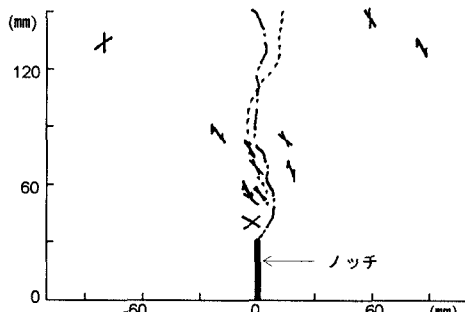


図3.3 コンクリート供試体（ノッチ長さ30mm）におけるAE波形の逆解析結果

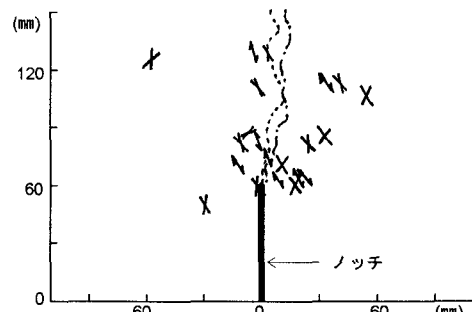


図3.4 コンクリート供試体（ノッチ長さ60mm）におけるAE波形の逆解析結果

### 【参考文献】

- 1) 破壊力学の応用研究委員会 報告書、日本コンクリート工学協会、1993.
- 2) 大津政康、重石光弘、湯山茂徳、岡本享久、「AEモーメントテンソル解析のためのSiGMAコードの開発」、非破壊検査、Vol. 42, No. 10, pp. 570-575, 1993.
- 3) 大津政康、「AEモーメントテンソル解析におけるSiGMAコードの後処理解析に関する研究」、非破壊検査、Vol. 43, No. 12, pp. 776-782, 1994.